



## مقایسه روش‌های برآورد نسبت پخشیدگی اکسیژن و گذرپذیری هوا با استفاده از اشباع موثر و مقدار رطوبت خاک

پناه محمدی<sup>۱\*</sup> - محمد رضا نیشابوری<sup>۲</sup> - عباس احمدی<sup>۳</sup>

تاریخ دریافت: ۱۳۹۲/۱/۶

تاریخ پذیرش: ۱۳۹۲/۷/۳۰

### چکیده

پخشیدگی گاز در خاک نسبت به پخشیدگی آن در اتمسفر ( $D_p/D_0$ ) و نیز گذرپذیری هوا در خاک ( $K_a$ ) تابع خصوصیات فیزیکی خاک نظیر اندازه و پیوستگی منافذ و همچین تخلخل تهویه‌ای است. پخشیدگی گاز در خاک نیز بر اساس خصوصیات شکل، اندازه و پیچ‌خوردگی منافذ و مقدار رطوبت خاک ( $\Theta$ ) متفاوت می‌باشد و به همین خاطر اندازه‌گیری مستقیم آنها سخت و زمان برب می‌باشد. در این تحقیق تعداد ۳۰ نمونه خاک از کلاس‌های بافتی مختلف بصورت دست‌نخورده با استفاده از استوانه فولادی تهیه و در اشباع موثر ( $Se$ ) و  $\Theta$  متعدد، مقادیر  $D_p/D_0$  با روش غالب غیرماندگار پخشیدگی گاز اکسیژن ( $D_p$ ) و  $K_a$  با روش بار افغان اندازه‌گیری و تغییرات آنها با  $Se$  و  $\Theta$  به صورت معادله رگرسیونی بدست آمد. نتایج نشان داد که با افزایش میزان  $Se$  و  $\Theta$  خاک  $D_p/D_0$  و  $K_a$  بصورت تابع لگاریتمی کاهش و حداقل مقدار آنها به ترتیب در رطوبت‌های کم و زیاد (زدیک اشباع) بدست آمد. تحلیل نتایج حاصله بر اساس معیارهای  $R^2$  و  $RMSE$  نشان می‌دهد که استفاده از  $Se$  باعث افزایش چشمگیر در دقت برآورد می‌شود. همچنین طبق نتایج بدست آمده می‌توان از مقدار  $Se$  و  $\Theta$  خاک به منظور برآورد  $D_p/D_0$  و  $K_a$  استفاده کرد بدون اینکه نیازی به اندازه‌گیری مستقیم این دو خصوصیت باشد.

**واژه‌های کلیدی:** اکسیژن‌متر، پخشیدگی گاز، گذرپذیری هوا، رطوبت خاک، اشباع موثر

### مقدمه

تولوئن و Freon-12 حتی اگر فعالیت‌های این سه گاز کاملاً متفاوت باشند نیز نزدیک هم هستند. به هم خوردن ساختمان خاک نیز بر  $D_p$  تاثیرگذار می‌باشد (۱۳). در خاک دست‌نخورده ساختمان خاک پایدار است و تمامی منافذ درشت در خاک حفظ می‌شوند. طبق نتایج در دست آمده در مطالعه تومنوری و همکاران (۳۰)، گاز در خاک می‌تواند از میان منافذ درشت سریع‌تر حرکت کند. در نتیجه در رطوبت‌های یکسان مقدار  $D_p$  در خاک‌های دست‌نخورده بیشتر از خاک‌های دست‌خورده می‌باشد. اکثر مدل‌های ارائه شده برای پیش‌بینی پخشیدگی گاز شامل پارامترهایی هستند که تابع خصوصیات فیزیکی خاک مانند تخلخل کل (۱۸) و همچنین نوع خاک (مدل‌های کلاسیک پنمن (۲۶) و بن‌باول (۳۱)) بوده که بخاطر فقدان اطلاعات جامع در مورد نحوه تاثیرگذاری این خصوصیات روی پارامترهای مدل، موفق به پیش‌بینی دقیق پخشیدگی گاز نشدنند. در مقایسه‌ای که بین خاک خشک و مرطوب توسط کال (۳) و پاپنديک

نسبت پخشیدگی گاز در خاک به پخشیدگی آن در اتمسفر ( $D_p/D_0$ ) و گذرپذیری هوا در خاک ( $K_a$ ) تابع رطوبت خاک و سایر خصوصیات فیزیکی مانند بافت و توزیع اندازه ذرات، تخلخل تهویه‌ای، توزیع اندازه منافذ و میزان پیوستگی آنها می‌باشد (۴). گرابل و سایمر (۸) نشان دادند که چگالی ظاهری و اندازه خاکدانه‌ها تاثیر کمی روی پخشیدگی گازها دارند، اما کورریه (۶) گزارش کرد که به جز در مواردی که تخلخل تهویه‌ای بالا است، چگالی ظاهری بیشترین تاثیر را در مقدار  $D_p$  یک خاک با تخلخل تهویه‌ای مشخص دارد. همچنین پترسون و همکاران (۲۷) نشان دادند که مقادیر  $D_p$  تریکلرو اتیلن،

۱، ۲ و ۳ به ترتیب داشش آموخته کارشناسی ارشد، استاد و استادیار گروه علوم خاک، دانشکده کشاورزی، دانشگاه تبریز  
(Email: Panah.m83@gmail.com) نویسنده مسئول:

4- Relative diffusivity

5- Air permeability

در خاک بوده و مدل‌هایی که برای برآورد این دو خصوصیت ارائه شدند نیاز ارزیابی جامع از خواص فیزیکی خاک و شرایط آزمایش دارند که باعث کاهش اعتماد در استفاده از این مدل‌ها می‌شود. این در حالی است که این دو خصوصیت وابسته به مقدار رطوبت و اشباع موثر خاک (رطوبت تقسیم بر رطوبت اشباع) می‌باشند که به راحتی قابل اندازه‌گیری هستند. لذا هدف این تحقیق اندازه‌گیری  $K_a$  و  $D_P$  در رطوبت‌های متعدد (رطوبت اشباع تا هوا خشک) در نمونه‌های مختلف بافتی و بدست آوردن رابطه‌ای به منظور برآورد و تخمین  $D_P/K_a$  از روی مقدار رطوبت و نهایتاً مقابله این روش با روش برآورد این دو خصوصیت با کاربرد اشباع موثر می‌باشد.

## مواد و روش‌ها

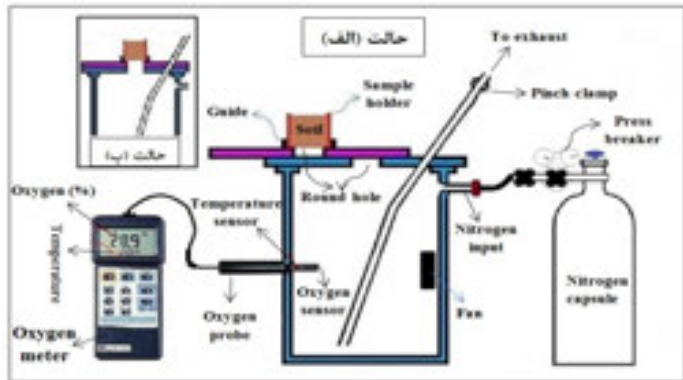
برای انجام این تحقیق تعداد ۳۰ نمونه خاک دست نخورده شامل تمامی ۱۲ کلاس بافت خاک به غیر از دو کلاس سیلتی و رس‌شنی با روش استوانه فلزی تهیه و در آزمایشگاه خاک‌شناسی دانشگاه تبریز مورد بررسی قرار گرفت. نمونه‌ها با محلول کلرید کلسیم نیم نرمال اشباع شده و با استفاده از ستون‌های آب آویزان در مکش‌های صفر، ۱/۵، ۲/۵، ۵/۵ کیلوپاسکال و با استفاده از دستگاه صفحات فشاری در مکش‌های ۱۰، ۳۰، ۱۰۰، ۳۰۰ و ۱۵۰۰ کیلوپاسکال (۱)، به حالت تعادل رسانده شدند. در هر مکش، رطوبت خاک استوانه‌ها به روش وزنی اندازه‌گیری و مقدار  $D_P$  و  $K_a$  نمونه‌ها با استفاده از معادلات ۲ و ۳ محاسبه گردید. همچنین برخی خصوصیات فیزیکی و شیمیایی نمونه‌ها از قبیل بافت (۷)، وزن مخصوص ظاهری و حقیقی (۱۱)، درصد کربن آلی (۲۳)، EC (۲۲)، SAR (با استفاده از دستگاه فیلم‌فوتومتر) و درصد رطوبت اشباع ( $Se$ ) نیز در نمونه‌های دست‌خورده اندازه‌گیری شد که در جدول ۱ آورده شده است.

و رونکلز (۲۵) انجام شد، تاکید شده است که اضافه شدن رطوبت خاک بسیار بیشتر از کاهش مقدار هوای خاک حاصل از تراکم در کاهش پخشیدگی گاز تاثیرگذار است. بنابراین  $D_P$  پیش‌گویی شده برای خاک مرطوب کمتر از خاک خشک خواهد بود. تغییر در شکل و اندازه منافذ پر از هوا در اثر تغییر رطوبت دلیل برای تفاوت ذکر شده است. علاوه بر این مسدود شدن منافذ اشغال شده با هوا توسعه آب تاثیر بیشتری در جلوگیری از پخشیدگی و کاهش  $D_P$  می‌گذارد (۳ و ۲۰).

گذرپذیری هوا در خاک ( $K_a$ ) تابع قوانین حاکم بر انتقال همرفتی هوا از طریق منافذ اشغال شده با هوا بوده و وابسته به شبیه فشار کل هوای اعمال شده می‌باشد. سرعت جريان سیال و انتقال هوا از طریق خاک بر اساس قانون دارسی با اختلاف فشار بین دو طرف نمونه رابطه مستقیم و با طول ستون محیط متخلخل رابطه معکوس دارد (۵ و ۱۶). پارامتر  $K_a$  از اوایل قرن بیستم برای توصیف، تعیین و مشخص کردن سریع و راحتتر آرایش ساختاری و به هم پیوستگی فضای منافذ در خاک استفاده می‌شود (۱۰ و ۲۰) و همچنین از آن برای پیش‌بینی خواص مهم فیزیکی دیگر خاک مانند هدایت هیدرولیکی اشباع خاک استفاده شده است (۱۲ و ۱۵). اندازه‌گیری  $K_a$  در مزرعه (در مقابله با اندازه‌گیری آزمایشگاهی) به لحاظ ویژگی‌های فیزیکی دقیق‌تر است (۹ و ۳۲) اما به دلیل ساختار ناهمگن و توزیع غیریکنواخت لایه‌های سطحی خاک، تغییرات این ناحیه زیاد است (۱۷). در حالیکه با اندازه‌گیری  $K_a$  در آزمایشگاه تصویر دقیق‌تر از شبکه منافذ را می‌توان در آزمایشگاه با درنظر گرفتن طیف گسترده‌ای از رطوبت خاک اندازه‌گیری شده در پتانسیل‌های ماتریک به دست آورد (۱۹). گذرپذیری هوا در آزمایشگاه با استفاده از روشهای متعدد اندازه‌گیری می‌شود، اما دو روش اصلی مورد استفاده برای این منظور، روش بار ثابت (اندازه‌گیری جریان هوا) و روش بار افتان (اندازه‌گیری فشار) می‌باشد. همانطور که ذکر شد  $D_P$  و  $K_a$  از خصوصیات مهم فیزیکی و کاربردی

جدول ۱- برخی از خصوصیات فیزیکی و شیمیایی خاک‌های به کار رفته در این تحقیق

خصوصیات	حداقل	میانگین	حداکثر	انحراف استاندارد	CV
درصد شن	۷/۷	۴۲/۳	۹۰/۰۸	۲۶/۹	۰/۶
درصد سیلت	۱/۳	۳۱/۸	۵۸/۷	۱۶/۲	۰/۵
درصد رس	۵/۶	۲۵/۷	۵۱/۲	۱۴/۲	۰/۵
درصد ماده آلی	۰	۱/۴۰۵	۴/۳۲	۱/۵۴۰	۱/۰۹۶
جرو مخصوص ظاهری ( $g/cm^3$ )	۱/۱	۱/۴	۱/۷	۰/۱	۰/۱
جرم مخصوص حقیقی ( $g/cm^3$ )	۲/۱	۲/۳	۲/۴	۰/۰۸	۰/۰۳
EC ( $dS/m$ )	۰/۸	۲/۵	۴/۸	۱/۴	۰/۵
SAR	۱/۹	۱۴/۷	۴۴/۴	۱۳/۹	۰/۹
درصد رطوبت اشباع ( $Se$ )	۱۹	۴۰	۵۷	۹/۴۳	۰/۲۳

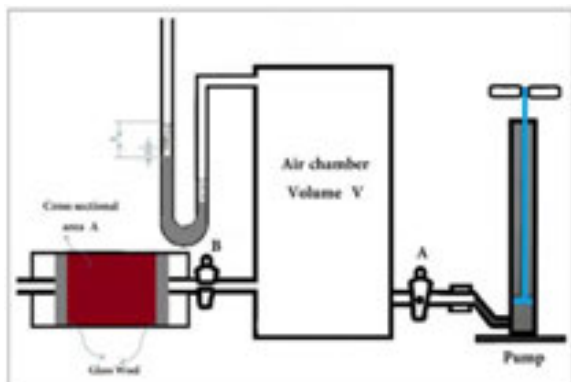


شکل ۱- تصویر شماتیک از دستگاه اندازه‌گیری ضریب پخشیدگی اکسیژن

$$\log \frac{P_a/(p_a - p_2)}{P_a/(p_a - p_1)} = \frac{D\delta_t}{2.303} \quad (2)$$

در این رابطه  $D_p$  پخشیدگی اکسیژن در خاک،  $P_a$  فشار جزئی اکسیژن در اتمسفر آزاد و  $P_1$  و  $P_2$  فشار جزئی اکسیژن داخل محفظه در زمان‌های  $t_1$  و  $t_2$  می‌باشد. ویژگی  $K_a$  را می‌توان به دو روش بار ثابت و بار افتان اندازه‌گیری کرد (۲۹). برای اندازه‌گیری  $K_a$  در این تحقیق به دلیل در دسترس بودن و همچنین سهولت و صرف وقت کمتر، از روش بار افتان که توسط کرکهام (۱۴) ارائه شده است، استفاده گردید (شکل ۲).

طبق نتایج گزارش شده در جدول ۱ کلاس بافت خاک‌های مورد مطالعه شامل بافت‌های درشت شنی تا ریز رسی بود. دامنه تغییرات درصد شن نمونه‌های خاک بین ۷/۷۵ تا ۹۰/۰۸ درصد و با میانگین ۴۲/۳۹ درصد، درصد سیلت بین ۱/۱۷ تا ۵۸/۷۷ درصد و با میانگین ۳۱/۸۳ درصد و دامنه تغییرات درصد رس بین ۵/۶۱ تا ۵/۱۲ درصد و با میانگین ۲۵/۷۷ درصد می‌باشد. همچنین تغییرات EC از ۰/۰۷ تا ۴/۸۵ دسی‌زیمنس بر متر و SAR نمونه‌ها از ۱/۹۹ تا ۱/۴۴ متغیر بود. در این تحقیق به منظور بدست آوردن ضریب پخشیدگی از روش حالت غیرماندگار پخشیدگی گاز اکسیژن (۲۸) و با بکارگیری دستگاه اکسیژن متر<sup>۱</sup> استفاده شد (شکل ۱).



شکل ۲- تصویر شماتیک دستگاه اندازه‌گیری گذرپذیری هوا

در این روش زمان تخلیه هوای داخل مخزن از طریق نمونه خاک و افت فشار از  $P_1$  به  $P_2$  اندازه‌گیری شده و با کاربرد رابطه زیر مقدار  $K_a$  محاسبه گردید (برای جزئیات بیشتر به مرجع نیشابوری و همکاران (۲۶) رجوع شود):

$$K_a = -2.303 \frac{V\eta\delta s(\log P_2 - \log P_1)}{AP_a(t_2 - t_1)} \quad (3)$$

در این معادله  $V$ : حجم مخزن بر حسب سانتی‌متر مکعب،  $\eta$

در این روش با تزریق نیتروژن به داخل محفظه و تخلیه اکسیژن، شب زیاد غلظت بین اکسیژن داخل محفظه (حدود صفر) و بیرون محفظه (حدود ۲۱ درصد) ایجاد می‌گردد. در این شرایط با توجه به اختلاف غلظت بالای دو گاز اکسیژن و نیتروژن در دو سوی نمونه، این دو گاز در خلاف جهت هم حرکت و اکسیژن هوا وارد محفظه و در جهت عکس آن  $N_2$  از محفظه به اتمسفر منتشر می‌گردد. با اندازه‌گیری غلظت‌های (%) اولیه و ثانویه اکسیژن به ترتیب در شروع و پایان آزمایش (انتشار اکسیژن از داخل نمونه در مدت زمان ۳۰۰ ثانیه)، با دستگاه اکسیژن‌متر، از معادله زیر (۱) استفاده کرده و غلظت‌های اولیه و ثانویه ( $P_1$  و  $P_2$ ) تبدیل و سپس با بکارگیری معادله ۲ مقدار پخشیدگی نمونه خاک در هر رطوبت محاسبه شد.

$$P_t = \frac{CR}{M_t} \quad (1)$$

در این رابطه  $P_t$  فشار جزئی گاز (Pa)،  $C$  غلظت گاز در واحد حجم (mol/m³)،  $R$  ثابت عمومی گاز برابر  $۱/۰۱۳\times ۱۰^۵$  (J/mole K) (g/m³) دما بر حسب درجه کلوین و  $M_t$  جرم مولکولی گاز است.

1- Oxygen meter

شکل های ۳ و ۴ نشان داده شده است.

در نمودار شکل ۳ نیز  $R^2$  بدست آمده برای برآورد  $D_p/D_0$  و  $K_a$  از طریق اندازه‌گیری با  $Se$  و  $\Theta$  ، مقدار قابل توجه و به ترتیب برابر  $0.993$  و  $0.9763$  می‌باشد. طبق این شکل علیرغم اینکه معادلات بدست آمده برای  $D_p/D_0$  و  $K_a$  در دو حالت استفاده از  $Se$  و  $\Theta$  با هم متفاوت هستند ولی با توجه به وابستگی به  $Se$  نسبت رطوبت خاک به رطوبت اشباع خاک) روند تغییرات  $D_p/D_0$  و  $K_a$  نسبت به افزایش  $Se$  و  $\Theta$  مشابه هم بوده و  $R^2$  یکسانی نیز دارند. در نمودار شکل ۴ نیز مقادیر هم برای این دو خصوصیت رابطه عکس با مقدار  $\Theta$  و  $Se$  دارد.

همانطور که در شکل فوق نشان داده شده شبکه کاهش  $D_p/D_0$  و  $K_a$  در محدوده رطوبت اشباع تا حدود ۱۵ درصد زیاد است در حالیکه در رطوبت‌های کمتر از ۱۵ درصد احتمالاً به خاطر اینکه اکثر منافذ خاک آب خود را از داده‌اند از شدت کاهش مقدار  $D_p/D_0$  و  $K_a$  کاسته شده و شبکه منحنی کم می‌شود.

در جدول ۳،  $R^2$  معادله برآورد  $D_p/D_0$  و  $K_a$  با دو روش (استفاده از رطوبت و اشباع موثر) برای هر کدام از کلاس‌های بافتی محاسبه و ارائه شده است.

همانطور که در این جدول مشاهده می‌شود در اکثر کلاس‌های بافتی به غیر از بافت لوم رسی،  $R^2$  های بدست آمده در مورد رابطه و تغییرات  $D_p/D_0$  و  $K_a$  با  $Se$  نسبت به  $\Theta$  بیشتر بوده و در واقع نشان میدهد که استفاده از  $Se$  بهتر و دقیق‌تر از رطوبت نمونه‌ها، می‌تواند  $D_p/D_0$  و  $K_a$  را برآورد کند. معادله بهترین خط برازشی بین مقدار  $D_p/D_0$  و  $K_a$  با اشباع موثر و رطوبت خاک برای مجموعه خاک‌های قرار گرفته در هر کلاس بافت بطور جداگانه در جداول ۴ و ۵ اورده شده است. طبق جدول ۴ حداقل و حداکثر  $R^2$  معادله برآورد  $K_a$  و  $D_p/D_0$  ترتیب برابر  $0.63$  (بافت لوم رسی سیلتی) و  $0.95$  (بافت رس سیلتی) بدست  $Se$  و همچنین حداقل و حداکثر  $R^2$  معادله برآورد  $D_p/D_0$  به ترتیب برابر  $0.85$  و  $0.95$  (بافت شن) و (بافت رس سیلتی) بدست آمده است. همانطور که در این جدول مشاهده می‌کنید علیرغم اینکه برای هر کلاس بافتی معادله جداگانه بدست آمده اما  $R^2$  بالای داشته و دامنه تغییرات آن هم برای  $K_a$  و هم برای  $D_p/D_0$  کم و قابل اعتماد می‌باشد.

در جدول ۵ حداقل و حداکثر  $R^2$  بدست آمده برای معادله برآورد  $K_a$  با استفاده از  $\Theta$  خاک برای هر کدام از کلاس‌های بافتی به ترتیب  $0.73$  (بافت لوم رسی سیلتی) تا  $0.92$  (بافت رسی) و همچنین  $R^2$  معادله برآورد  $D_p/D_0$  بین حداقل  $0.81$  تا  $0.96$  به ترتیب برای نمونه‌های با کلاس بافت لوم سیلتی و لوم رسی نشان داده شده است. همانطور که در این جدول مشاهده می‌شود همانند  $Se$  تغییرات مقدار  $D_p/D_0$  و  $K_a$  با  $\Theta$  خاک در هر کلاس بافتی از معادله خاصی

ویسکوزیته هوا (سانتی پوزیز)،  $t_1$  طول نمونه خاک (سانتی‌متر) **A** سطح مقطع خاک، (سانتی‌متر مربع) **P<sub>a</sub>** فشار هوا (اتمسفر)، **P<sub>2</sub>**، **P<sub>1</sub>** فشار هوا داخل مخزن (میلی‌متر آب) در شروع و پایان اندازه‌گیری، **t<sub>2</sub>** - **t<sub>1</sub>** زمان افت فشار داخل مخزن (ثانیه) و **K<sub>a</sub>** گذرپذیری خاک برای هوا (دارسی) است. در این تحقیق بمنظور ارزیابی دقت روش‌های برآورد از شاخص‌های آماری ضریب تبیین<sup>۱</sup> ( $R^2$ )، مجدد میانگین مربعات خطأ<sup>۲</sup> ( $RMSE$ ) و میانگین هندسی نسبت خطأ<sup>۳</sup> ( $GMER$ ) استفاده شد.

$$R^2 = 1 - \frac{\sum_{i=1}^N (y_i - \hat{y}_i)^2}{\sum_{i=1}^N (\bar{y}_i - \hat{y}_i)^2} \quad (4)$$

$$RMSE = \sqrt{\frac{\sum_{i=1}^N (y_i - \hat{y}_i)^2}{N}} \quad (5)$$

$$GMER = \exp \left[ \frac{1}{N} \sum_{i=1}^N \ln \left( \frac{\hat{y}_i}{y_i} \right) \right] \quad (6)$$

در این معادلات  $y_i$  مقدار اندازه‌گیری شده،  $\hat{y}_i$  مقدار برآورد شده،  $\bar{y}_i$  میانگین مقدار اندازه‌گیری شده و  $N$  تعداد کل داده‌های مقایسه شده می‌باشد.

## نتایج و بحث

در شکل های ۳ و ۴ منحنی تغییرات  $D_p/D_0$  و  $K_a$  اندازه‌گیری شده نسبت به تغییر  $Se$  و  $\Theta$  در برخی خاک‌ها نشان داده شده است. همانطور که در شکل ۳ مشاهده می‌شود مقادیر نسبت پخشیدگی اکسیژن و گذرپذیری هوا در مقایسه با مقدار رطوبت ( $\Theta$ ) و همچنین اشباع موثر ( $Se$ ) تابع معادله لگاریتمی بوده و افزایش  $Se$  و  $\Theta$  منجر به کاهش  $D_p/D_0$  و  $K_a$  بصورت لگاریتمی می‌شود. طبق نتایج بدست آمده از آنجایی که در تمامی نمونه‌ها معادله لگاریتمی برازش را داشت بنابراین هم معادله و هم  $R^2$  به دست آمده برای هر کدام از نمونه‌ها به طور جداگانه برای تمامی نمونه‌ها محاسبه گردید. مثالی از این معادلات و نمودارها در شکل های ۳ و ۴ به ترتیب برای دو نمونه با بافت‌های لوم رسی سیلتی (نمونه ۱۹۹) و لوم شنی (نمونه ۲۷۱) با خصوصیات فیزیکی و شیمیایی شرح جدول زیر، به ترتیب در

1- Coefficient of determination

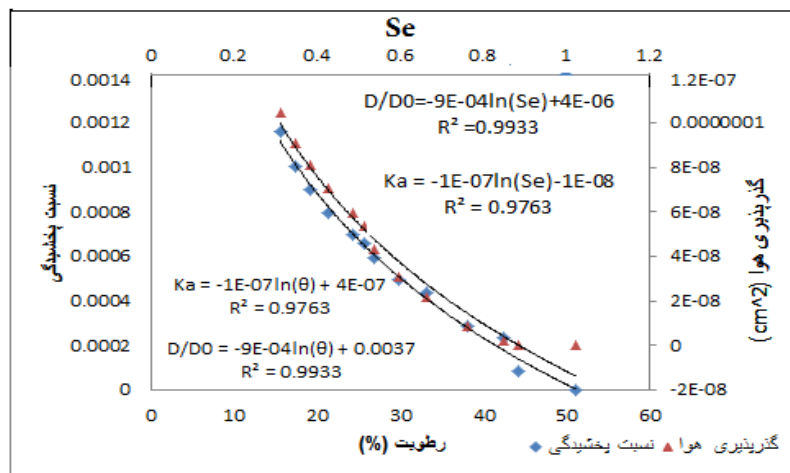
2- Root mean square deviation

3- Geometric mean of error ratio

تأثیرگذاری روی تخلخل تهווیه‌ای تاثیر زیادی روی تغییرات  $D_p/D_0$  دارد. همچنین نتایج نشان می‌دهد که در معادله بدست آمده برای مجموعه چند نمونه خاک،  $R^2$  حاصل در مقایسه با تک تک نمونه‌ها کمتر می‌باشد.

پیروی کرده و در واقع تأثیرگذاری اندازه ذرات و کلاس بافت خاک را نشان می‌دهد. این نتیجه با نتایج بدست آمده در تحقیقی که مولدراب و همکاران (۲۱) انجام دادند مطابقت دارد.

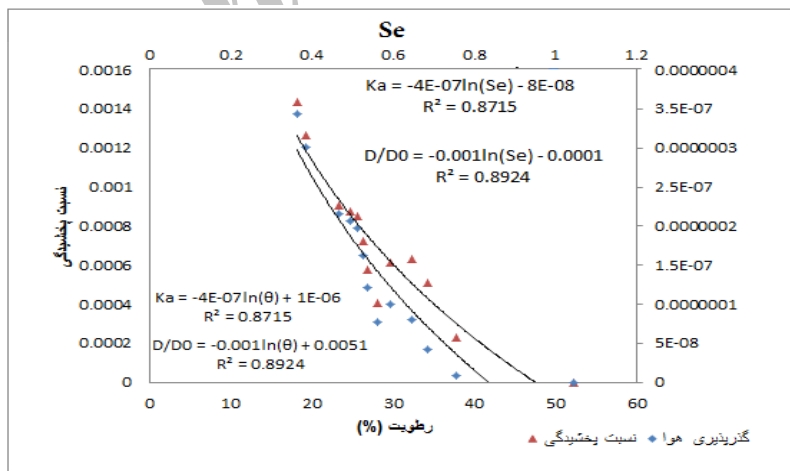
آن گزارش کردند که  $D_p/D_0$  در پروفیل یک خاک طبیعی تحت تاثیر بافت و ساختمان خاک بوده و این دو خصوصیت از طریق



شکل ۳- منحنی تغییرات نسبت پخشیدگی و گذرپذیری هوا برای نمونه‌ای با کلاس بافت لوم رسی سیلتی

جدول ۲- خصوصیات فیزیکی و شیمیایی نمونه‌های ۱۹۹ و ۲۷۱ به کار رفته در این تحقیق

نمونه	رس (%)	سیلت (%)	شن (%)	ماده آلی (%)	ظاهری (g/cm³)	جسم مخصوص حقیقی (g/cm³)	EC (dS/m)	SAR	Se(%)
۱۹۹	۳۷/۷۶	۵۱/۷۶	۱۰/۴۸	۴/۳۳	۱/۳۲	۲/۱۵	۴/۱۷	۱۶/۵۳	۵۱
۲۷۱	۱۷/۷۹	۲۰/۴۵	۶۱/۷۶	۳/۶	۱/۶۵	۲/۴	۱/۸۴	۱/۹۹	۳۴



شکل ۴- منحنی تغییرات نسبت پخشیدگی و گذرپذیری هوا برای نمونه با کلاس بافت لوم شنی

شده در  $Se$  و  $\Theta$  های مختلف (در مجموع ۳۹۰ نقطه) نیز بررسی و معادله بهترین خط برازشی بدست آمده برای هر کدام در شکل‌های ۵ و ۶ به ترتیب برای برآورد  $D_p/D_0$  و  $K_a$  ارائه شده است.

در این تحقیق به منظور بدست آوردن یک معادله واحد برای برآورد مقدار  $D_p/D_0$  و  $K_a$  از روی مقدار  $Se$  و  $\Theta$  خاک، تغییرات این دو خصوصیت با مقدار  $Se$  و  $\Theta$  برای مجموعه نمونه‌های آزمایش

جدول ۳- مقایسه  $R^2$  بدست آمده برای برآورد  $D_p/D_0$  و  $K_a$  با کاربرد اشباع موثر و رطوبت

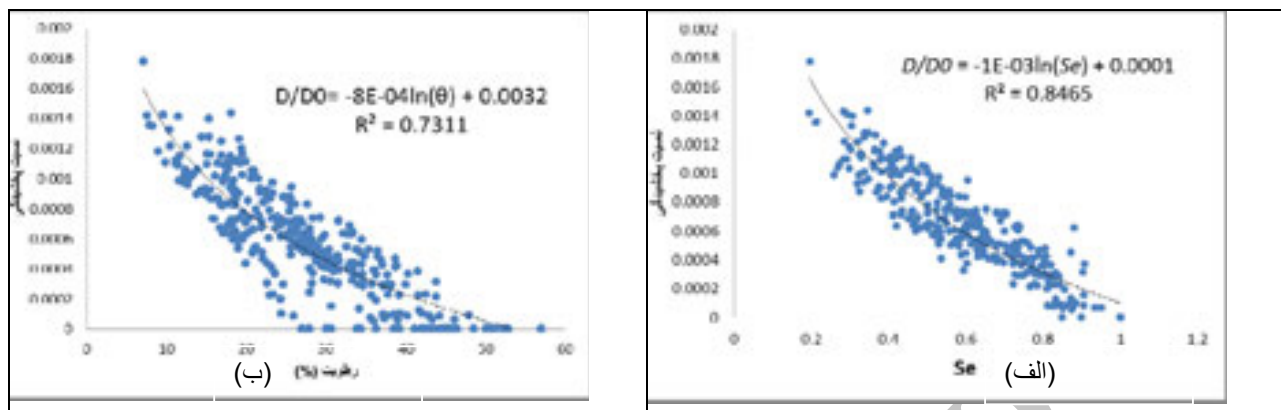
$D_p/D_0$	$K_a$	$D_p/D_0$	$K_a$	بافت
.۹۷	.۸۸	.۹۵	.۹۳	رس سیلتی
.۹۶	.۸۰	.۹۴	.۷۴	لوم رسی
.۹۳	.۹۲	.۹۳	.۹۱	لوم
.۸۳	.۹۲	.۹۴	.۹۵	شن لومی
.۹۲	.۷۳	.۹۴	.۶۳	لوم رسی سیلتی
.۹۲	.۸۰	.۹۴	.۷۴	رس
.۹۳	.۹۲	.۹۱	.۹۵	لوم رسی شنی
.۷۶	.۷۷	.۸۷	.۸۴	لوم شنی
.۸۱	.۸۴	.۸۷	.۸۵	لوم سیلتی
.۸۲	.۸۴	.۸۵	.۸۶	شن

جدول ۴- معادله برآورد  $D_p/D_0$  و  $K_a$  از روی  $Se$  مجموعه نمونه‌های هر کلاس بافتی

$R^2$	معادله برآورد		معادله برآورد	کلاس بافت (تعداد)
$D_p/D_0$	$K_a$	$D_p/D_0$	$K_a$	
.۹۵	.۹۳	$D_p/D_0 = -9E-04\ln(Se) + 5E-05$	$K_a = -3E-07\ln(Se) - 2E-08$	رس سیلتی (۳)
.۹۴	.۷۴	$D_p/D_0 = -0.001\ln(Se) - 9E-06$	$K_a = -2E-07\ln(Se) - 2E-08$	لوم رسی (۳)
.۹۳	.۹۱	$D_p/D_0 = -0.001\ln(Se) + 6E-05$	$K_a = -3E-07\ln(Se) - 2E-08$	لوم (۳)
.۹۴	.۹۵	$D_p/D_0 = -0.001\ln(Se) - 2E-05$	$K_a = -2E-07\ln(Se) - 3E-08$	شن لومی (۳)
.۹۴	.۶۳	$D_p/D_0 = -8E-04\ln(Se) + 9E-05$	$K_a = -2E-07\ln(Se) - 6E-09$	لوم رسی سیلتی (۳)
.۹۴	.۷۴	$D_p/D_0 = -0.001\ln(Se) + 1E-05$	$K_a = -2E-07\ln(Se) - 3E-08$	رس (۳)
.۹۱	.۹۵	$D_p/D_0 = -9E-04\ln(Se) + 0.0001$	$K_a = -2E-07\ln(Se) - 2E-08$	لوم رسی شنی (۳)
.۸۷	.۸۴	$D_p/D_0 = -0.001\ln(Se) + 8E-05$	$K_a = -3E-07\ln() - 4E-08$	لوم شنی (۳)
.۸۷	.۸۵	$D_p/D_0 = -0.001\ln(Se) + 0.0001$	$K_a = -3E-07\ln(x Se) + 1E-08$	لوم سیلتی (۳)
.۸۵	.۸۶	$D_p/D_0 = -0.002\ln(Se) + 0.0002$	$K_a = -2E-06\ln(Se) + 9E-08$	شن (۳)

جدول ۵- معادله برآورد  $D_p/D_0$  و  $K_a$  از روی رطوبت مجموعه نمونه‌های هر کلاس بافتی

$R^2$	معادله بدست آمده برای		معادله بدست آمده برای	بافت (تعداد)
$D_p/D_0$	$K_a$	$D_p/D_0$	$K_a$	
.۸۷	.۸۸	$D_p/D_0 = -8E-04\ln(\Theta) + 0.0033$	$K_a = -3E-07\ln(\Theta) + 1E-06$	رس سیلتی (۳)
.۹۶	.۸۰	$D_p/D_0 = -0.001\ln(\Theta) + 0.0051$	$K_a = -2E-07\ln(\Theta) + 9E-07$	لوم رسی (۳)
.۹۳	.۹۲	$D_p/D_0 = -0.001\ln(\Theta) + 0.0038$	$K_a = -3E-07\ln(\Theta) + 9E-07$	لوم (۳)
.۸۳	.۹۲	$D_p/D_0 = -9E-04\ln(\Theta) + 0.0036$	$K_a = -3E-07\ln(\Theta) + 1E-06$	شن لومی (۳)
.۹۲	.۷۳	$D_p/D_0 = -8E-04\ln(\Theta) + 0.0032$	$K_a = -2E-07\ln(\Theta) + 7E-07$	لوم رسی سیلتی (۳)
.۹۲	.۸۰	$D_p/D_0 = -0.001\ln(\Theta) + 0.0048$	$K_a = -2E-07\ln(\Theta) + 9E-07$	رس (۳)
.۹۳	.۹۲	$D_p/D_0 = -9E-04\ln(\Theta) + 0.0033$	$K_a = -2E-07\ln(\Theta) + 6E-07$	لوم رسی شنی (۳)
.۷۶	.۷۷	$D_p/D_0 = -9E-04\ln(\Theta) + 0.0036$	$K_a = -3E-07\ln(\Theta) + 1E-06$	لوم شنی (۳)
.۸۱	.۸۴	$D_p/D_0 = -0.001\ln(\Theta) + 0.004$	$K_a = -3E-07\ln(\Theta) + 1E-06$	لوم سیلتی (۳)
.۸۲	.۸۴	$D_p/D_0 = -0.002\ln(\Theta) + 0.0052$	$K_a = -2E-06\ln(\Theta) + 5E-06$	شن (۳)



شکل ۵- تغییرات نسبت پخشیدگی با Se (الف) و رطوبت (ب) برای تمام نمونه‌ها

بسیار کوچک می‌باشد که نشان دهنده تطبیق نزدیک مقادیر برآورده با اندازه‌گیری شده در روش استفاده از  $Se$  است. در ارتباط با معیار  $GMER$  نیز هرچقدر مقادیر بدست آمده بیشتر و یا کمتر از یک باشند به ترتیب نشان دهنده بیش برآورده و یا کم برآورده نسبت به مقادیر اندازه‌گیری شده و تجربی است. با توجه به مقادیر  $GMER$  بدست آمده، استفاده از هر دو روش بکار رفته برای برآورد  $D_p/D_0$  دارای آمده، استفاده از  $D_p/D_0$  بدست آمد و بزرگ‌تر از مقایر واقعی می‌باشد. بیش برآورده و مقادیر برآورده شده بزرگ‌تر از  $D_p/D_0$  بدست آمده (معادله ۷ و ۸) به ترتیب زیر نشان داده شده‌اند.

طبق نمودارهای ارائه شده در شکل ۵ نیز همانند شکل ۴،  $D_p/D_0$  با مقدار  $Se$  و خاک رابطه عکس داشته و با افزایش آنها مقدار  $D_p/D_0$  بصورت تابع لگاریتمی کاهش می‌یابد که معادلات بدست آمده (معادله ۷ و ۸) به ترتیب زیر نشان داده شده‌اند.

$$D_p/D_0 = -1E-03 \ln(Se) + 0.0001 \quad (7)$$

$$D_p/D_0 = -8E-04 \ln(\theta) + 0.0032 \quad (8)$$

همانطور که در بخش مواد و روش‌ها ذکر شد در این تحقیق برای ارزیابی دقت برآورد  $D_p/D_0$  و  $K_a$ ، از سه معیار ارزیابی دقت تخمین، یعنی  $R^2$  و  $RMSE$  استفاده شد. نتایج ارزیابی حاصل از سه ملاک مذکور در جدول ۶ آورده شده است.

جدول ۶- ارزیابی دقت برآورد  $D_p/D_0$  نمونه‌های خاک از طریقاندازه‌گیری رطوبت و  $Se$ 

$GMER$	$RMSE$	$R^2$	$D_p/D_0$	روش برآورده
۱/۰۶۵	۰/۲۳	۰/۸۴۶۵	$Se$	اندازه‌گیری
۸/۸۴۷	۶/۱۵	۰/۷۳۱۱		اندازه‌گیری رطوبت

طبق نتایج ارائه شده در جدول ۶ مقایسه هر سه شاخص آماری بدست آمده از دو روش به کار رفته در این تحقیق برای برآورد  $D_p/D_0$  از طریق اندازه‌گیری  $\theta$  و  $Se$ ، دقت بالای روش اندازه‌گیری  $Se$  را در مقایسه با  $\theta$  نشان می‌دهد. همانطور که مشاهده می‌شود  $R^2$  به ترتیب  $0/۰/۸۴۶۵$  و  $0/۰/۷۳۱۱$  برای معادلات ۷ و ۸ بدست آمد که نشان دهنده برتری روش استفاده از  $Se$  در مقایسه با استفاده از  $\theta$  برای برآورد  $D_p/D_0$  بوده و باعث افزایش  $11/۵$  درصدی دقت برآورده می‌شود. همچنین هر چقدر مقدار  $RMSE$  کوچکتر و به صفر نزدیک‌تر باشد نشان دهنده تطبیق بیشتر مقادیر برآورده شده و اندازه‌گیری شده است. با توجه به جدول ۶ مشاهده می‌شود که مقدار  $RMSE$  در روش اندازه‌گیری  $Se$  (۶/۱۵) در مقایسه با روش اندازه‌گیری  $\theta$  (۰/۲۳) از

نمی‌توان جهت بدست آوردن  $K_a$  فقط به مقدار رطوبت خاک بسته نه کرد و لازم است در مطالعات آتی نقش سایر خصوصیات فیزیکی خاک و نحوه و میزان اثرگذاری آنها نیز بررسی شود. همچنین بر اساس دو معیار  $RMSE$  و  $GMER$  نیز علی‌رغم اینکه بدست آمده در هر دو روش بسیار کم و جزئی بوده و نشان دهنده تطبیق بالای مقادیر اندازه‌گیری و برآورده شده می‌باشد اما بخصوص در روش استفاده از  $\Theta$  مقدار  $GMER$  ( $18/0\cdot 03$ ) به مراتب بیشتر از روش  $Se$  ( $1/272$ ) بوده و طبق این نتایج، استفاده از روش اندازه‌گیری  $\Theta$  در خصوص برآورده  $K_a$  به روش اندازه‌گیری  $Se$  ترجیح داده و توصیه می‌شود.

### نتیجه‌گیری و پیشنهادها

با توجه به نتایج بدست آمده در این تحقیق با فرض ثابت بودن سایر خصوصیات فیزیکی خاک می‌توان با اطمینان قابل توجهی از این روابط بویژه رابطه ۷ برای پیشگویی و برآورده  $D_p/D_0$  بدون اندازه‌گیری مستقیم آن استفاده کرد. همچنین نتایج ارائه شده در معادلات ۹ و ۱۰ به منظور برآورده  $K_a$  از روی مقدار  $Se$  و  $\Theta$  خاک نشان می‌دهد که استفاده از  $Se$  باعث افزایش دقت برآورد گردیده و این در حالیست که استفاده از  $\Theta$  زیاد قابل اعتماد نمی‌باشد که دلیل آن را می‌توان به وابستگی  $K_a$  به خصوصیات و عوامل مختلفی غیر از رطوبت نسبت داد. بنابراین پیشنهاد می‌شود بمنظور برآورده  $D_p/D_0$  با استفاده از  $\Theta$  مطالعات بیشتری صورت گرفته و پارامترهایی بغیر از  $\Theta$ ، مانند خصوصیات فیزیکی (بافت، ساختمان) و شیمیایی یک معادله جامع و کاربردی‌تر بدست آورد.

فیزیکی خاک مانند تخلخل کل (۱۸) و آب باقیمانده (۲۲) را منعکس می‌کنند. معادله بدست آمده برای برآورده مقدار  $K_a$  در  $Se$  و  $\Theta$  های مختلف برای مجموعه خاک‌ها در شکل ۶ نشان داده شده است.

همانطور که در این شکل ملاحظه می‌شود در این مورد هم مقدار  $K_a$  وابسته به مقدار  $Se$  و  $\Theta$  خاک بوده و با افزایش آنها، مقدار  $K_a$  کاهش یافته است. رابطه‌ای که بهترین برازش را بین  $K_a$  و مقدار این دو خصوصیت نشان می‌دهد، معادله لگاریتمی و بصورت زیر می‌باشد.

$$Ka = -2E-07 \ln(Se) + 2E-0.8 \quad (9)$$

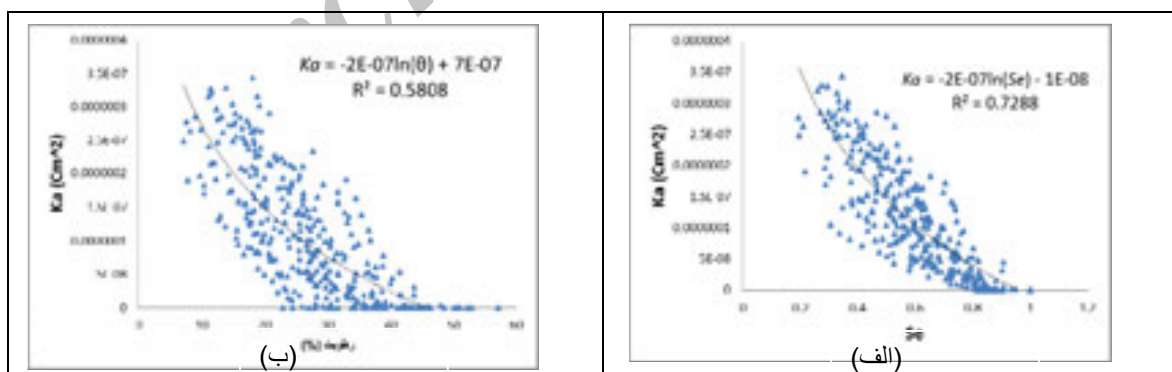
$$Ka = -2E-07 \ln(\Theta) + 7E-0.7 \quad (10)$$

مقدار  $R^2$  و  $GMER$  بدست آمده برای ارزیابی دقت برآورده  $K_a$  نمونه‌های خاک از طریق اندازه‌گیری  $\Theta$  و  $Se$  برای ۳۰ نمونه خاک بکار رفته در این تحقیق در جدول ۷ ارائه شده است.

جدول ۷- ارزیابی دقت برآورده  $K_a$  نمونه‌های خاک از طریق اندازه‌گیری رطوبت و  $Se$

روش برآورده	$GMER$	$RMSE$	$R^2$	$K_a$
اندازه‌گیری	۱/۲۷۲	۰/۱۶۱	۰/۷۲۸۸	$Se$
اندازه‌گیری رطوبت	۱۸/۰۳	۰/۰۱۹	۰/۵۸۰۸	$D_p/D_0$

همانطور که در جدول ۷ مشاهده می‌شود  $R^2$  به ترتیب برای  $0/۷۲۸۸$  و  $0/۵۸۰۸$  برای برآورده  $K_a$  با استفاده از  $Se$  و  $\Theta$  بدست آمده که نشان می‌دهد در مورد برآورده  $K_a$  نیز استفاده از  $Se$  در مقایسه با  $\Theta$ ، تا حدود زیادی (افزایش دقت حدود  $14/8$  درصد) باعث افزایش دقت برآورده گردیده و  $K_a$  را دقیق‌تر برآورد می‌کند و این در حالی است که با توجه به  $R^2$  پایین روش اندازه‌گیری  $\Theta$  استفاده از پارامتر مقدار رطوبت ملاک و معیار مناسبی برای برآورده  $K_a$  نبوده و



شکل ۶- منحنی تغییرات گذرپذیری هوا با (الف) و رطوبت (ب) برای تمام نمونه‌ها

### منابع

- امامی ح، نیشابوری م.ر، شرفاء م، لیاقت ع.م. ۱۳۸۸. تخمین رطوبت نقطه عطف منحنی رطوبتی با استفاده از ویژگی‌های زودیافت خاک. مجله آب و خاک، ج ۲۳. ش ۲. ص ۹۵-۱۰۳.

- 2- Ball B.C., and Schjønning P. 2002. Air permeability. In J.H. Dane and G.C. Topp, Eds. Methods of Soil Analysis, Part 4. Soil Sci. Soc. Am. J. 5:1141-1158.
- 3- Call F. 1957. Soil fumigation: V. Diffusion of ethylene dibromide through soils. J. Sci. Food Agric. 8:143-150.
- 4- Corey A.T. 1957. Measurement of water and air permeability in unsaturated soils. Soil Sci. Soc. Am. J. 21:7-10.
- 5- Corey A.T. 1986. Air permeability. In A. Klute, Ed. Methods of Soil Analysis, Part 1 Physical and Mineralogical Methods, 2nd ed. American Society of Agronomy, Madison, WI. 9: 1121-1136.
- 6- Currie J.A. 1984. Gas diffusion through soil crumbs: the effect of compaction and wetting. Soil Sci. Soc. Am. J. 35: 1-10.
- 7- Gee G.W. 2002. Particle size analysis. In: H.D. Jacob and G. Clarke Topp, Co-editor (eds). Methods of Soil Analysis. Part 4. Physical Methods. Soil Sci. Soc. Am. J. 4:201-414.
- 8- Grable A.R. and Siemer E.G. 1968. Effect of bulk density, aggregate size, and soil water suction on oxygen diffusion, redox potentials, and elongation of corn roots. Soil Sci. Soc. Am. J. 32: 180-186.
- 9- Green R.D., and Fordham S.J. 1975. A field method for determining air permeability in soil. In Soil Physical Conditions and Crop Production. Tech. Bull. 29. HMSO, London. 273-288.
- 10- Green W.H., and Ampt G.A. 1911. Studies on soil physics. Part 1. The flow of air and water through soils. J. Agric. Sci. 4: 1-24.
- 11- Grossman R.B., and Reinesch T.G. 2002. The solid phase. In: H.D. Jacob and G. Clarke Topp, Co-editor (ed). Methods of Soil Analysis. Part 4. Physical Methods. Soil Sci. Soc. Am. J. 201-414.
- 12- Iversen B.V., Moldrup P., Schjønning P., and Jacobsen O.H. 2003. Field application of a portable air permeameter to characterize spatial variability in air and water permeability. Vadose Zone J. 2: 618-626.
- 13- Jin Y., and Jury W.A. 1996. Characterizing the dependence of gas diffusion coefficient on soil properties. Soil Sci. Soc. Am. J. 60: 66-71.
- 14- Kirkham D. 1946. Field method for determination of air permeability of soil in its undisturbed state. Soil Sci. Soc. Am. Proc. 11:93-99.
- 15- Loll P. Moldrup P., Schjønning P., and Riley H. 1999. Predicting saturated hydraulic conductivity from air permeability: application in stochastic water infiltration modeling. Water Resour. Res. 35:2387-2400.
- 16- Maasland M., and Kirkham D. 1955. Theory and measurement of anisotropic air permeability in soil. Soil Sci. Soc. Am. Proc. 19: 395-400.
- 17- McIntyre D.S., and Tanner C.B. 1959. Anormally distributed soil physical measurements and nonparametric statistics. Soil Sci. Soc. Am. J. 88: 133-137.
- 18- Millington R.J., and Quirk J.P. 1961. Permeability of porous solids. Trans. Faraday Soc. 57: 1200-1207.
- 19- Moldrup P., Yoshikawa S., and Olesen T. Komatsu T., and Rolston D.E. 2003. Air permeability in undisturbed volcanic ash soils: predictive model test and soil structure fingerprint. Soil Sci. Soc. Am. J. 67: 32-40.
- 20- Moldrup P., Olesen T., Komatsu T., Schjønning P., and Rolston D.E. 2001. Tortuosity, diffusivity, and permeability in the soil liquid and gaseous phases. Soil Sci. Soc. Am. J. 65: 613-623.
- 21- Moldrup P., Olesen T., Yamaguchi T., Schjønning P., and Rolston D.E. 2004. Three porosity model for predicting the gas diffusion coefficient in undisturbed soil. Soil Sci. Soc. Am. J. 68: 750-759.
- 22- Moldrup P., Olesen T., Yamaguchi T., and Schjønning P., and Rolston D.E. 2000. Predicting the gas diffusion coefficient in undisturbed soil from soil water characteristics. Soil Sci. Soc. Am. J. 64: 94-100
- 23- Nelson D.W., and Sommers L.E. 1996. Total carbon, organic carbon and organic matter. In: D.L. Sparks (Ed) .Methods of Soil Analyses. Part 3. Chemical Methods. SSSA. Madison, WI , USA. 961-1010
- 24- Neyshabouri M.R., Rafiee Alavi S.A.R., Rezaei H., and Nazemi A.H. 2010. Estimating unsaturated hydraulic conductivity from air permeability. 19th World Congress of Soil Science. Brisbane Australia.62-65.
- 25- Papendick R.I., and Runkles J.R. 1965. Transient-state oxygen diffusion in soil: I. The case when rate of oxygen consumption is constant. Soil Sci. Soc. Am. J. 100:251-261.
- 26- Penman H.L. 1940. Gas and vapor movements in soil: The diffusion of vapors through porous solids. J. Agric. Sci. 30: 437-462.
- 27- Petersen L.W., Rolston D.E., Moldrup P., and Yamaguchi T. 1994. Volatile organic vapor diffusion and absorption in soil. J. Environ. Qual. 23: 799-805.
- 28- Taylor S.A. 1949. Oxygen diffusion in porous media as a measure of soil aeration. Soil Sci. Soc. Proc. J. 14:55-61.
- 29- Taylor S., and Ashcroft G. 1972. Physical edaphology. The physics of irrigated and nonirrigated soils. W. H. Freeman and Company. Pages, 563.
- 30- Tomonori F., and Miyazaki T. 2005. Effects of bulk density and soil type on the gas diffusion coefficient in repacked and undisturbed soils. Soil Sci. Soc. Am. J. 170(11): 892-901.
- 31- Van Bavel C.H.M. 1952. Gaseous diffusion and porosity in porous media. Soil Sci. Soc. Am. J. 73:91-104.
- 32- Van Groenewoud H. 1968. Methods and apparatus for measuring air permeability of the soil. Soil Sci. Soc. Am. J.

- 106:275–279.
- 33- Werner D., Grathwohl P., and Hohener P. 2004. Review of field methods for the determination of the tortuosity and effective gas-phase diffusivity in the vadosezone. *Vadose Zone J.* 3:1240–1248.

Archive of SID



## Comparison of Methods to Estimate The Oxygen Diffusion Ratio and Air Permeability by Using The Effective Saturated and Soil Moisture

P. Mohamadi<sup>1\*</sup> - M.R. Neyshaboori<sup>2</sup> – A. Ahmadi<sup>3</sup>

Received:26-03-2013

Accepted:22-10-2013

### Abstract

Gas diffusion ratio in the soil in compare to diffusion in the atmosphere ( $DP/D_0$ ) and air permeability in the soil ( $K_a$ ) is a function of soil physical characteristic, including pore size, continuity and air porosity. Also gas diffusion in soil is different based on the shape, moisture content ( $\Theta$ ), size and pore tortuosity. Therefore direct measurement is difficult and time consuming. In this study, 30 number of soil samples from different texture classes were prepared as undisturbed soil using a steel cylinder. At different effective saturation ( $Se$ ) and  $\Theta$  content,  $DP/D_0$  values were measured with oxygen diffusion unsteady method and  $K_a$  was measured with falling head method. The regression equation of their variation with the moisture and  $Se$  was obtained. The results showed that with increase in soil  $\Theta$  and  $Se$ ,  $DP/D_0$  and  $K_a$  decreased as a logarithmic function. Maximum and minimum value are obtained, at low and high humidity (near saturation), respectively. Analysis of the results according to  $R^2$ , RMSE and GMER showed that use  $Se$  caused a significant increase in the accuracy of estimated. Also based on the results, the amount of soil  $Se$  and  $\Theta$  can be used to estimate  $DP/D_0$  and  $K_a$ , without direct measurement of them.

**Keywords:** Oxygen meter, Gas diffusion, Air permeability, Soil moisture, Effective saturation

1,2,3- Former MSc Student, Professor and Assistant Professor, Department of Soil Science, College of Agriculture, University of Tabriz, Respectively  
(\* - Corresponding Author Email: Panah.m83@gmail.com)